

# Starkniederschlagshöhen und -spenden gemäß KOSTRA-DWD-2020

## Rasterfeld 105100

(Zeile 105, Spalte 100)

### Regenspende und Bemessungsniederschlagswerte in Abhängigkeit von Wiederkehrzeit T und Dauerstufe D

| Dauerstufe D |     | Wiederkehrzeit T |            |      |            |      |            |      |            |       |            |       |            |       |            |       |            |       |            |
|--------------|-----|------------------|------------|------|------------|------|------------|------|------------|-------|------------|-------|------------|-------|------------|-------|------------|-------|------------|
|              |     | 1 a              |            | 2 a  |            | 3 a  |            | 5 a  |            | 10 a  |            | 20 a  |            | 30 a  |            | 50 a  |            | 100 a |            |
| min          | Std | mm               | l / (s ha) | mm   | l / (s ha) | mm   | l / (s ha) | mm   | l / (s ha) | mm    | l / (s ha) | mm    | l / (s ha) | mm    | l / (s ha) | mm    | l / (s ha) | mm    | l / (s ha) |
| 5            |     | 6,7              | 223,3      | 8,3  | 276,7      | 9,4  | 313,3      | 10,7 | 356,7      | 12,7  | 423,3      | 14,7  | 490,0      | 16,1  | 536,7      | 17,8  | 593,3      | 20,3  | 676,7      |
| 10           |     | 8,7              | 145,0      | 11,0 | 183,3      | 12,3 | 205,0      | 14,1 | 235,0      | 16,7  | 278,3      | 19,4  | 323,3      | 21,1  | 351,7      | 23,4  | 390,0      | 26,7  | 445,0      |
| 15           |     | 10,0             | 111,1      | 12,6 | 140,0      | 14,1 | 156,7      | 16,2 | 180,0      | 19,2  | 213,3      | 22,2  | 246,7      | 24,2  | 268,9      | 26,8  | 297,8      | 30,6  | 340,0      |
| 20           |     | 11,0             | 91,7       | 13,8 | 115,0      | 15,5 | 129,2      | 17,7 | 147,5      | 21,0  | 175,0      | 24,3  | 202,5      | 26,5  | 220,8      | 29,4  | 245,0      | 33,5  | 279,2      |
| 30           |     | 12,4             | 68,9       | 15,5 | 86,1       | 17,5 | 97,2       | 20,0 | 111,1      | 23,7  | 131,7      | 27,4  | 152,2      | 29,9  | 166,1      | 33,2  | 184,4      | 37,8  | 210,0      |
| 45           |     | 13,9             | 51,5       | 17,4 | 64,4       | 19,6 | 72,6       | 22,4 | 83,0       | 26,5  | 98,1       | 30,8  | 114,1      | 33,5  | 124,1      | 37,2  | 137,8      | 42,4  | 157,0      |
| 60           | 1   | 15,0             | 41,7       | 18,8 | 52,2       | 21,2 | 58,9       | 24,3 | 67,5       | 28,7  | 79,7       | 33,3  | 92,5       | 36,3  | 100,8      | 40,2  | 111,7      | 45,8  | 127,2      |
| 90           | 1,5 | 16,8             | 31,1       | 21,0 | 38,9       | 23,6 | 43,7       | 27,0 | 50,0       | 32,0  | 59,3       | 37,1  | 68,7       | 40,4  | 74,8       | 44,8  | 83,0       | 51,1  | 94,6       |
| 120          | 2   | 18,1             | 25,1       | 22,6 | 31,4       | 25,4 | 35,3       | 29,1 | 40,4       | 34,5  | 47,9       | 40,0  | 55,6       | 43,6  | 60,6       | 48,3  | 67,1       | 55,0  | 76,4       |
| 180          | 3   | 20,0             | 18,5       | 25,1 | 23,2       | 28,2 | 26,1       | 32,3 | 29,9       | 38,3  | 35,5       | 44,4  | 41,1       | 48,4  | 44,8       | 53,6  | 49,6       | 61,1  | 56,6       |
| 240          | 4   | 21,6             | 15,0       | 27,0 | 18,8       | 30,4 | 21,1       | 34,8 | 24,2       | 41,2  | 28,6       | 47,7  | 33,1       | 52,0  | 36,1       | 57,7  | 40,1       | 65,8  | 45,7       |
| 360          | 6   | 23,9             | 11,1       | 29,9 | 13,8       | 33,7 | 15,6       | 38,6 | 17,9       | 45,6  | 21,1       | 52,9  | 24,5       | 57,7  | 26,7       | 63,9  | 29,6       | 72,9  | 33,8       |
| 540          | 9   | 26,5             | 8,2        | 33,1 | 10,2       | 37,3 | 11,5       | 42,7 | 13,2       | 50,5  | 15,6       | 58,6  | 18,1       | 63,9  | 19,7       | 70,8  | 21,9       | 80,7  | 24,9       |
| 720          | 12  | 28,5             | 6,6        | 35,6 | 8,2        | 40,1 | 9,3        | 45,9 | 10,6       | 54,3  | 12,6       | 63,0  | 14,6       | 68,7  | 15,9       | 76,1  | 17,6       | 86,7  | 20,1       |
| 1080         | 18  | 31,5             | 4,9        | 39,4 | 6,1        | 44,4 | 6,9        | 50,8 | 7,8        | 60,1  | 9,3        | 69,7  | 10,8       | 76,0  | 11,7       | 84,2  | 13,0       | 96,0  | 14,8       |
| 1440         | 24  | 33,8             | 3,9        | 42,4 | 4,9        | 47,7 | 5,5        | 54,6 | 6,3        | 64,6  | 7,5        | 74,9  | 8,7        | 81,7  | 9,5        | 90,5  | 10,5       | 103,2 | 11,9       |
| 2880         | 48  | 40,2             | 2,3        | 50,4 | 2,9        | 56,7 | 3,3        | 64,9 | 3,8        | 76,8  | 4,4        | 89,1  | 5,2        | 97,1  | 5,6        | 107,6 | 6,2        | 122,7 | 7,1        |
| 4320         | 72  | 44,5             | 1,7        | 55,8 | 2,2        | 62,7 | 2,4        | 71,8 | 2,8        | 85,0  | 3,3        | 98,5  | 3,8        | 107,4 | 4,1        | 119,1 | 4,6        | 135,7 | 5,2        |
| 5760         | 96  | 47,8             | 1,4        | 59,9 | 1,7        | 67,4 | 2,0        | 77,2 | 2,2        | 91,3  | 2,6        | 105,9 | 3,1        | 115,4 | 3,3        | 127,9 | 3,7        | 145,8 | 4,2        |
| 7200         | 120 | 50,6             | 1,2        | 63,3 | 1,5        | 71,2 | 1,6        | 81,6 | 1,9        | 96,5  | 2,2        | 111,9 | 2,6        | 122,0 | 2,8        | 135,2 | 3,1        | 154,2 | 3,6        |
| 8640         | 144 | 52,9             | 1,0        | 66,3 | 1,3        | 74,5 | 1,4        | 85,4 | 1,6        | 101,0 | 1,9        | 117,1 | 2,3        | 127,7 | 2,5        | 141,5 | 2,7        | 161,3 | 3,1        |
| 10080        | 168 | 55,0             | 0,9        | 68,9 | 1,1        | 77,4 | 1,3        | 88,7 | 1,5        | 105,0 | 1,7        | 121,7 | 2,0        | 132,7 | 2,2        | 147,0 | 2,4        | 167,6 | 2,8        |

# Starkniederschlagshöhen und -spenden gemäß KOSTRA-DWD-2020

## Rasterfeld 105100

(Zeile 105, Spalte 100)

### Örtliche Unsicherheiten in Abhängigkeit von Wiederkehrzeit T und Dauerstufe D

| Dauerstufe D |     | Wiederkehrzeit T |     |     |     |      |      |      |      |       |
|--------------|-----|------------------|-----|-----|-----|------|------|------|------|-------|
|              |     | 1 a              | 2 a | 3 a | 5 a | 10 a | 20 a | 30 a | 50 a | 100 a |
| min          | Std | ± %              | ± % | ± % | ± % | ± %  | ± %  | ± %  | ± %  | ± %   |
| 5            |     | 13               | 14  | 15  | 16  | 17   | 18   | 19   | 19   | 20    |
| 10           |     | 15               | 17  | 19  | 20  | 21   | 22   | 23   | 23   | 24    |
| 15           |     | 17               | 19  | 20  | 22  | 23   | 24   | 25   | 25   | 26    |
| 20           |     | 17               | 20  | 21  | 23  | 24   | 25   | 26   | 26   | 27    |
| 30           |     | 18               | 21  | 22  | 23  | 25   | 26   | 26   | 27   | 28    |
| 45           |     | 18               | 21  | 22  | 23  | 25   | 26   | 26   | 27   | 28    |
| 60           | 1   | 18               | 20  | 22  | 23  | 24   | 26   | 26   | 27   | 27    |
| 90           | 1,5 | 17               | 20  | 21  | 22  | 24   | 25   | 25   | 26   | 27    |
| 120          | 2   | 16               | 19  | 20  | 21  | 23   | 24   | 25   | 25   | 26    |
| 180          | 3   | 15               | 18  | 19  | 20  | 22   | 23   | 24   | 24   | 25    |
| 240          | 4   | 15               | 17  | 18  | 20  | 21   | 22   | 23   | 23   | 24    |
| 360          | 6   | 14               | 16  | 17  | 19  | 20   | 21   | 22   | 22   | 23    |
| 540          | 9   | 14               | 16  | 17  | 18  | 19   | 20   | 21   | 21   | 22    |
| 720          | 12  | 14               | 15  | 16  | 17  | 19   | 20   | 20   | 21   | 21    |
| 1080         | 18  | 14               | 15  | 16  | 17  | 18   | 19   | 20   | 20   | 21    |
| 1440         | 24  | 15               | 16  | 16  | 17  | 18   | 19   | 19   | 20   | 20    |
| 2880         | 48  | 17               | 17  | 17  | 18  | 18   | 19   | 19   | 20   | 20    |
| 4320         | 72  | 18               | 18  | 18  | 19  | 19   | 19   | 20   | 20   | 20    |
| 5760         | 96  | 20               | 19  | 19  | 19  | 20   | 20   | 20   | 21   | 21    |
| 7200         | 120 | 21               | 20  | 20  | 20  | 20   | 21   | 21   | 21   | 21    |
| 8640         | 144 | 22               | 21  | 21  | 21  | 21   | 21   | 21   | 22   | 22    |
| 10080        | 168 | 22               | 22  | 21  | 21  | 21   | 22   | 22   | 22   | 22    |

### Parameter für abweichende T und D

#### Lokationsparameter $\xi$ (Xi)

15,36386971

#### Skalenparameter $\alpha$ (Alpha)

5,38155062

#### Formparameter $\kappa$ (Kappa)

-0,1

#### 1. Koutsoyiannis-Parameter $\theta$ (Theta)

0,02784733

#### 2. Koutsoyiannis-Parameter $\eta$ (Eta)

0,75094712

Parameter für dauerstufenübergreifende Extremwertschätzung nach KOUTSOYIANNIS et al. 1998.

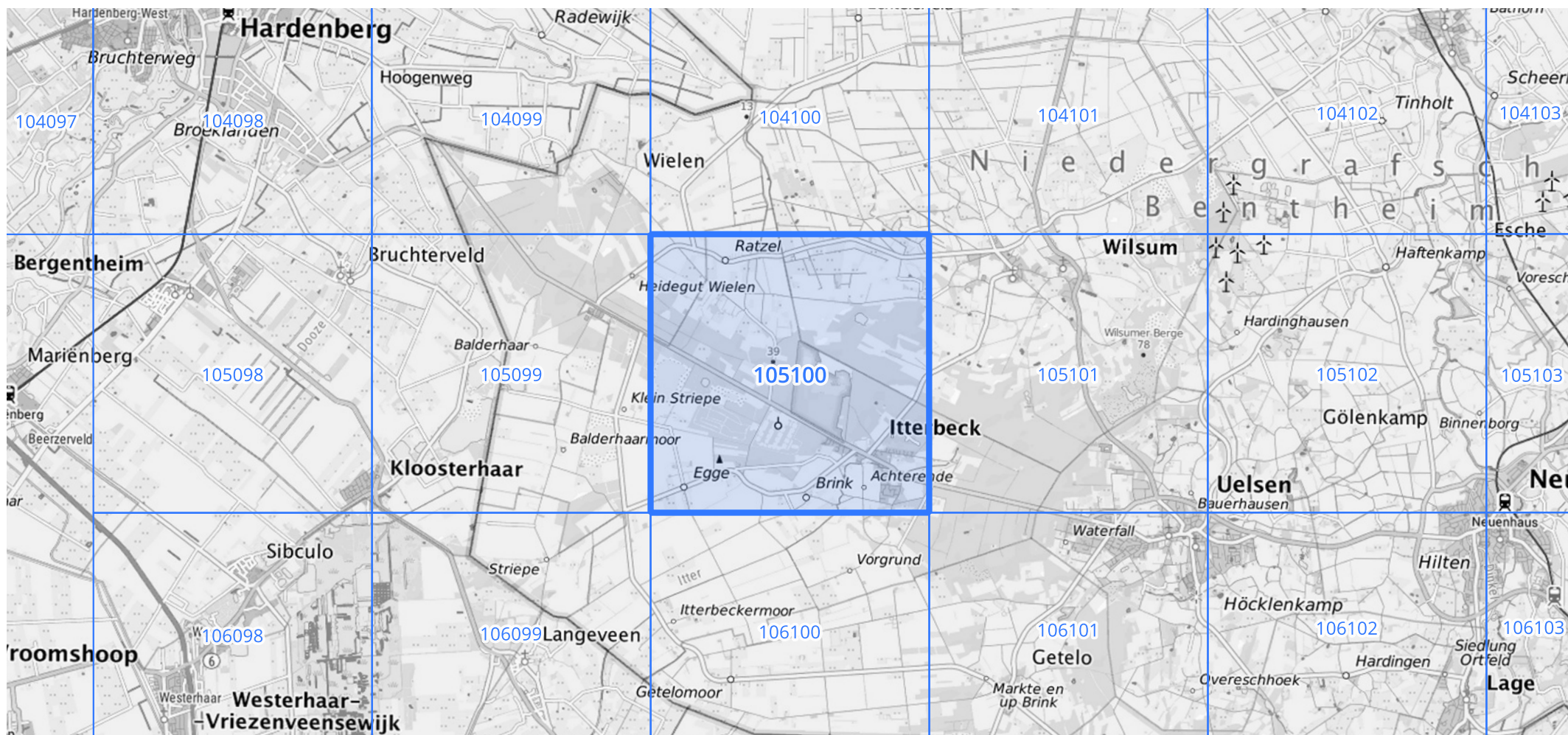
Siehe auch Anwendungshilfe zu KOSTRA-DWD-2020 des Deutschen Wetterdienstes.

## Starkniederschlagshöhen und -spenden gemäß KOSTRA-DWD-2020

## Rasterfeld 105100

(Zeile 105, Spalte 100)

## Übersichtskarte des Rasterfeldes 105100, M 1 : 100 000



Quelle Rasterdaten: KOSTRA-DWD-2020 des Deutschen Wetterdienstes, Stand 12/2022.

Seite 3 von 3

Kartendarstellung: © Bundesamt für Kartographie und Geodäsie (2023), Datenquellen: [https://sgx.geodatenzentrum.de/web\\_public/gdz/datenquellen/Datenquellen\\_TopPlusOpen.html](https://sgx.geodatenzentrum.de/web_public/gdz/datenquellen/Datenquellen_TopPlusOpen.html)

Für die Richtigkeit und Aktualität der Angaben wird keine Gewähr übernommen. Erstellt 01/2023.